



Sigma, USA 100mg/kg b.w. 对照组以相同的方式腹腔注射溶剂 0.5% 聚氧乙烯山梨醇脂肪酸酯

### 1.3 抽搐发作记数

参考文献 [1] 一次抽搐定义为出现肢体阵挛或全身痉挛。自 KA 注射后第 2 周开始, 对每只动物每天观察 2 h。第 2-10 周, 每天观察 5 d; 第 11-16 周, 每周观察 5 d。持续观察 6 周, 以周为单位记录抽搐次数。

### 1.4 组织学观察

6 周后所有动物经 10% 水合氯醛 1ml/kg b.w. 深度麻醉, 迅速开胸暴露心脏, 经升主动脉用 100ml 生理盐水快速冲洗后, 用 500ml 4% 的多聚甲醛缓冲液由快到慢灌注固定 3~4 h。断头取脑, 置于 4% 固定液中后固定 2~4 h。再经梯度酒精脱水, 二甲苯透明, 浸蜡, 包埋。在距离前囟约 3.6mm 处制作冠状石蜡切片, 进行 HE 染色后, 于显微镜下观察组织病理学改变, 并在高倍镜下对 CA3 区存活神经元记数, 统计细胞个数/mm<sup>2</sup>。

### 1.5 统计分析

对照组和给药组之间抽搐次数及海马 CA3 区存活神经元数差异采用 t 检验。

## 2 结果

### 2.1 TPCK 对海马 CA3 神经元的保护作用

对照组与给药组海马 CA3 区存活神经元数分别为 6.7 ± 0.2 和 6.2 ± 0.5/mm<sup>2</sup>, 两组之间有显著性差异 (P < 0.05)。

### 2.2 TPCK 对 KA 致痫大鼠抽搐发作次数的影响

观察期间大鼠的自发抽搐表现为凝滞、湿狗样抖、颜面部及咀嚼肌和前肢的抖动、后腿站立、反复站立、跌倒等。便于观察, 将肢体阵挛或全身痉挛定义为抽搐。抽搐记数结果 5% 可信限见图 1。在同一观察时间段, 给药组和对照组的抽搐发作次数无显著性差异 (P > 0.1)。

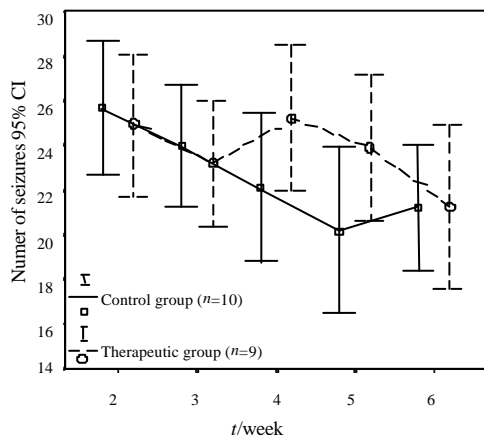


图 1 给药组与对照组的抽搐发作次数比较

中国药理学通报 2006, 28(10): 1503-1506  
中国药理学通报 2006, 28(10): 1503-1506

## 3 讨论

海马硬化是颞叶癫痫的主要病理改变, 约 0%~70% 慢性癫痫患者的尸检发现有海马硬化。它既是癫痫发作的结果, 又是癫痫频发和难治的原因, 并且可以致残, 记忆力下降, 智能和精神障碍以及痴呆。神经元死亡和丢失是海马硬化的主要病理特征。大鼠杏仁核注射 KA 所致癫痫可以模拟海马硬化的形成, 是理想的颞叶癫痫动物模型。

杏仁核注射 KA 引起抽搐相关的 CA3 区神经元损害, 表现为急性坏死约 30% 和迟发性死亡约 70%。而迟发性死亡具有凋亡的特性, 其机制尚不十分清楚。目前倾向于认为是兴奋性氨基酸介导的兴奋毒性引起的。KA 注射后可引起海马齿状回颗粒细胞的丛集放电, 使苔状纤维末梢释放谷氨酸, 谷氨酸和 CA3 神经元胞体的谷氨酸受体结合, 一方面激活非 NMDA 受体, 引起突触后神经元去极化, Ca<sup>2+</sup> 大量内流, 继发 Cl<sup>-</sup> 和水分的内流, 使神经元严重水肿, 迅速溃变死亡。另一方面与 NMDA 受体和代谢型谷氨酸受体结合, 导致 Ca<sup>2+</sup> 内流和胞内 Ca<sup>2+</sup> 释放, 使胞内 Ca<sup>2+</sup> 浓度持续增高, 诱导即刻早期基因 c-fos 和 c-jun 的表达, 启动细胞走向凋亡。已有证据表明, 以 TUNEL 阳性细胞为特征的凋亡是其中主要的死亡形式。因此, 近年国内外有许多研究者提出用凋亡抑制剂治疗癫痫。氨基蛋白酶抑制剂 TPCK 是酯溶性物质, 易于通过血脑屏障。众多离体实验证明, TPCK 是一种强力的凋亡抑制剂。而 Hara 等 [1] 则证明了 TPCK 在沙土鼠脑缺血模型中的神经保护作用。我们的研究也表明, TPCK 可以抑制 KA 所致大鼠海马 CA3 神经元的凋亡, 从而提高 CA3 区神经元存活数。参考文献 [2]

本研究结果表明, 尽管 TPCK 提高了海马 CA3 存活神经元数, 但在 6 周内, 其不能够减少 KA 致痫大鼠的抽搐发作次数, 没有抗癫痫治疗效果。原因可能是 TPCK 不能提供足够的神经保护作用, 因为仍有全部急性坏死的神经元和部分凋亡的神经元不能免于死亡。因此, 我们尚不能据此完全否定神经保护剂的抗癫痫作用, 但至少对凋亡抑制剂的抗癫痫作用方面, 应持有相当谨慎的态度。抽搐记数用的是行为学指标, 不一定能够反映真实的放电情况, 在疗效判定上可能存在偏差。CA3 神经元的死亡可能并不是或不完全是 KA 致痫大鼠自发抽搐的原因。

## 参考文献

[1] Ben-Ari Y. Limbic seizure and brain damage produced by kainic acid: mechanisms and relevance to human temporal lobe epilepsy. *Neuroscience*, 1985, 14(2): 375-405.

[2] Okazaki MM, Molnar P, Nadler JV. Recurrent mossy fiber pathway

inratdentategyrus:synapticcurrentsevokedinpresenceandabsence ofseizure-inducedgrowth *Neurophysiol*,1999,81(4):1645-60.

咱暂 SchauweckerPE,RamirezJJ, StewardO. Geneticdissectionofthe signalsthatinducesynapticreorganization *ExpNeurol*, 2000, 161(1):139-52.

咱暂 ShettyAK,TurnerDA.Fetalhippocampalcellsgraftedtokainate-lesioned CA3 region of adult hippocampus suppress aberrant supragranularsproutingofhostmossyfibers *ExpNeurol*,1997, 143(2):231-45.

咱暂 HenshallDC,SinclairJS,SimonRP.Spatio-temporalprofileofDNA fragmentationanditsrelationship to patterns of epileptiform activity following focally evoked limbic seizures *BrainRes*,2000,858 (2):290-302.

咱暂 Mori Y,KondziolkaD,BalzerJ, 藻藻藻 Effects of stereotactic radiosurgery on an animal model of hippocampal epilepsy *Neurosurgery*,2000,46(1):157-68.

咱暂 BuckmasterPS,DudekFE.Neuronloss,granulecellaxonreorgani- zation, and functional changes in the dentate gyrus of epileptic kainate-treated rats *CompNeurol*,1997,385(3):385-401.

咱暂 韩济生 神经科学原理 *北京医科大学出版社*,1993.536-7.

咱暂 HerdegenT,BlumeA,BuschmannT, 藻藻藻 Expression of activating transcription factor-2, serum response factor and cAMP/Ca response element binding protein in the adult rat brain following generalized seizures, nerve fibre lesion and ultraviolet irradiation *Neuroscience*,1997,81(1):199-212.

咱暂 HiguchiM,SinghS,ChanH, 藻藻藻 Protease inhibitors differentially regulate tumor necrosis factor-induced apoptosis, nuclear factor-kappa B activation, cytotoxicity and differentiation *Blood*,1995, 86(6):2248-56.

咱暂 HaraA,NiwaM,NakashimaM, 藻藻藻 Protective effect of apoptosis-inhibitory agent, N-tosyl-L-phenylalanyl chloromethyl ketone against ischemia-induced hippocampal neuronal damage *CerebBlood FlowMetab*,1998,18(8):819-23.

## 干扰素治疗慢性病毒性肝炎致糖尿病 2 例报告

戴琳 袁复元 第一军医大学南方医院感染内科 袁东 广州 510515 冤

关键词 干扰素类 肝炎 病毒性 糖尿病  
 中图分类号 R512.6; R587.1 文献标识码 文章编号 000-2588(2001)10-0752-01

干扰素是治疗慢性病毒性肝炎的主要药物之一，抗病毒治疗过程中大部分病人可出现发热、关节疼痛、白细胞和血小板减少、脱发甚至严重的精神抑郁状态等副作用，但诱发糖尿病却极为少见。本文报道 2 例应用干扰素治疗慢性病毒性肝炎致糖尿病病例。

### 1 临床资料

病例 1 袁男，袁岁，因输血后丙型肝炎 2 年，于 1996 年 7 月 17 日入院。入院前曾患急性胰腺炎 2 次，否认糖尿病史。入院时查血糖 5.1mmol/L。入院后给予 琢 2b 干扰素抗病毒治疗，每天肌肉注射 300 万 U，袁次完成疗程。第 3 天患者出现烦渴、多食、多尿、乏力等症。查空腹血糖 4.3mmol/L，尿糖 渊+++。冤诊断为 1 型糖尿病。第 4 天起停用干扰素，给予糖尿病饮食，袁糖平 15 mg 袁次/d。1 月后患者空腹血糖正常，袁糖阴性。出院后患者曾反复出现烦渴、多食、多尿、乏力等症。2000 年 8 月患者自测血糖为 13.2mmol/L，袁糖阴性。给予胰岛素治疗 1 个月，袁糖正常。

病例 2 袁男，袁 9 岁，因慢性乙型肝炎于 1999 年 6 月

18 日入院。入院时血糖 4.9mmol/L。入院后给予 琢 2b 干扰素抗病毒治疗，袁次 500 万 U 肌肉注射，袁次/周。2000 年 12 月因出现干扰素抗体阳性改用惠福仁 500 万 U 袁次/周。2000 年 6 月患者出现烦渴、多食、多尿、乏力等症。查空腹血糖 10.8mmol/L，尿糖 ++++。遥给予糖尿病饮食和诺和灵 R 治疗。袁月后空腹血糖正常，袁糖阴性。

### 2 讨论

干扰素主要通过抗病毒和免疫调节作用治疗慢性病毒性肝炎，但也可能损害胰岛 B 细胞。遥将 琢 干扰素基因转移至小鼠 B 细胞，袁可以诱发转基因小鼠出现低胰岛素糖尿病。遥进一步研究揭示袁干扰素可增加主要组织相容性复合物 和 类抗原在胰岛 B 细胞中的表达。袁前者可加强 T 淋巴细胞对具有自身抗原的 B 细胞的识别和损害，袁后者则可使 B 细胞成为抗原提呈细胞而直接激活免疫应答，袁破坏 B 细胞。遥本组病例提示袁干扰素诱发糖尿病与干扰素亚型及疗程无关。遥病例 1 应用 琢 2b 干扰素，袁在疗程的第 3 天出现血糖增高。病例 2 应用 琢 2a 干扰素，袁在治疗后 1 年左右出现血糖增高。遥一般认为袁干扰素引起的所有副作用都是可逆的，袁但病例 1 在诱发糖尿病 4 年后仍未能得到完全控制，袁血糖反复升高，袁应该引起注意。遥另外袁在考虑干扰素抗病毒治疗的禁忌证时，袁除自身免疫性疾病外，袁还应注意患者是否有胰腺炎病史。遥

收稿日期 001-04-12

作者简介 戴琳 袁 972-冤 袁女，袁河北安国人，袁 995 年毕业于第一军医大学袁技师。袁电话 20-85141948